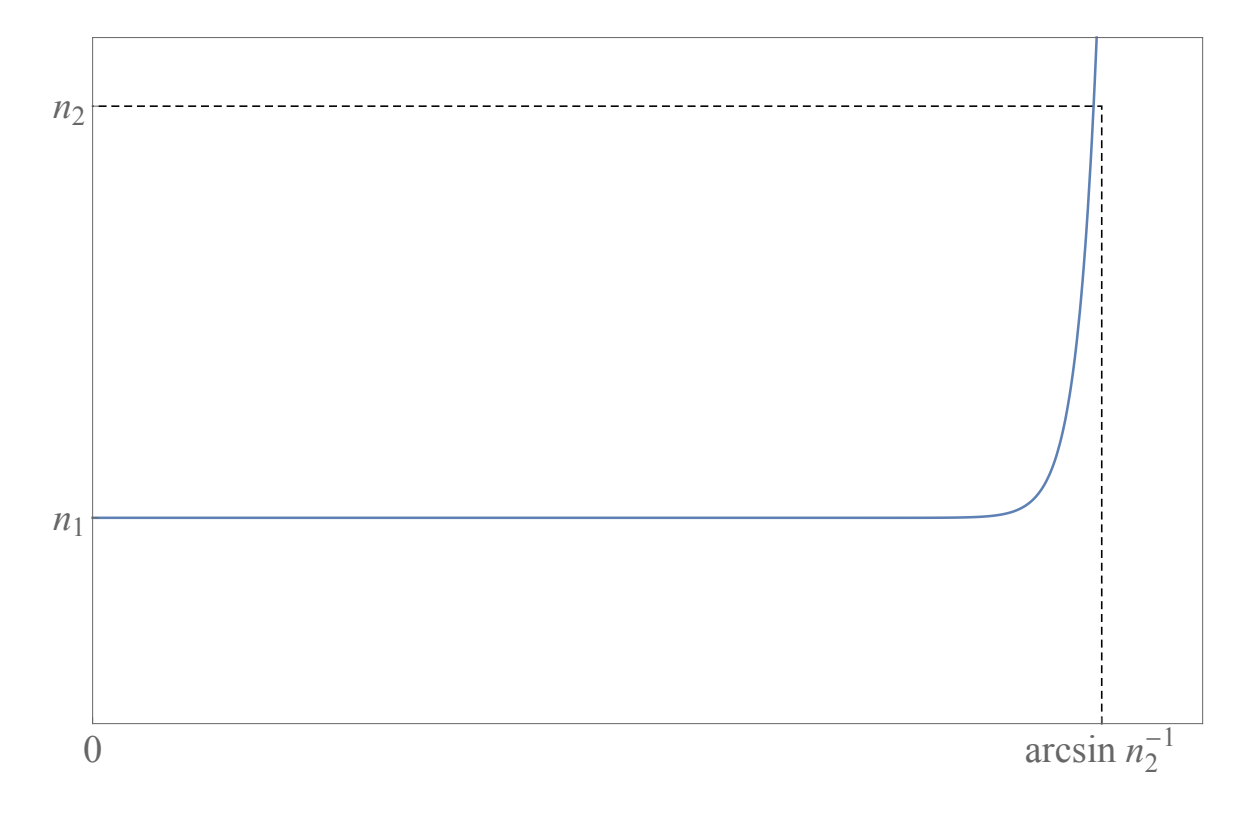
Problem 1

Part A

1A1.

$$n_{\text{eff}} = \sqrt{\sin^2 \alpha_0 + \left(\frac{d_1 + d_2}{\frac{d_1}{\sqrt{n_1^2 - \sin^2 \alpha_0}} + \frac{d_2}{\sqrt{n_2^2 - \sin^2 \alpha_0}}\right)^2}.$$

1А2. При $n_2^2 - \sin^2 \alpha_0 \sim (d_2/d_1)^2$ величина $n_{\rm eff}$ начинает изменяться. При $n_2^2 - \sin^2 \alpha_0 \ll (d_2/d_1)^2$: $n_{\rm eff} \to \infty$. См. график.



1А3. Здесь 2 варианта, в зависимости от материала, на который луч падает.

$$n_{\mathrm{eff.1}} = \sin \alpha_0 \sqrt{1 + \frac{n_1^2 - \sin^2 \alpha_0}{(d_1 + d_2)^2} \left(\frac{d_1}{\sin \alpha_0} + \frac{d_2}{\sqrt{n_2^2 - n_1^2 + \sin^2 \alpha_0}} \right)^2}$$
 — на 1-й.

$$n_{ ext{eff.2}}=\sinlpha_0\sqrt{1+rac{n_2^2-\sin^2lpha_0}{(d_1+d_2)^2}\left(rac{d_2}{\sinlpha_0}+rac{d_1}{\sqrt{n_1^2-n_2^2+\sin^2lpha_0}}
ight)^2}$$
 — на 2-й.

1А4. Да, например при $\sin \alpha_0 \to \sqrt{|n_1^2 - n_2^2|}$ по первой формуле величина конечна, а по второй — стремится к бесконечности (в одном из случаев).

1А5. В плоскости, параллельной слоям, углы

$$\alpha_{\parallel 1} = \arcsin\left(\frac{\sin \alpha}{n_1}\right), \quad \alpha_{\parallel 2} = \arcsin\left(\frac{\sin \alpha}{n_2}\right).$$

В перпендикулярной же плоскости, как в предыдущем пункте, два случая:

$$\operatorname{ctg} \alpha_{\perp 1} = \frac{\sqrt{n_1^2 - \sin^2 \alpha_0}}{d_1 + d_2} \left(\frac{d_1}{\sin \alpha_0} + \frac{d_2}{\sqrt{n_2^2 - n_1^2 + \sin^2 \alpha_0}} \right),$$

$$\operatorname{ctg} \alpha_{\perp 2} = \frac{\sqrt{n_2^2 - \sin^2 \alpha_0}}{d_1 + d_2} \left(\frac{d_2}{\sin \alpha_0} + \frac{d_1}{\sqrt{n_1^2 - n_2^2 + \sin^2 \alpha_0}} \right).$$

Part B

1B1.

$$\Phi_{\rm r}/\Phi_0 = r_{01}(\alpha) + (1 - r_{01}(\alpha)) r_{12}(\beta) \frac{1 - r_{10}(\beta)}{1 - r_{10}(\beta) r_{12}(\beta)},$$
 где $\beta = \arcsin(\sin \alpha/n_1).$

1В2. В главном приближении

$$\Phi_{\rm r}^{(1)}/\Phi_0 = r_{01}(\alpha) + r_{12}(\beta)$$

не зависит от того, какой материал сверху, при $r_{12}(\beta) = r_{21}(\gamma)$ (здесь $\gamma = \arcsin(n_1 \sin \beta/n_2) = \arcsin(\sin \alpha/n_2)$ — угол движения во 2-й среде).

1В3. Соответствующие поправки

$$\Phi_{\mathrm{r}}^{(2)}/\Phi_{0}=-r_{12}\left(\beta\right)\left(r_{01}\left(\alpha\right)+r_{10}\left(\beta\right)\right)$$
 (у меня в работе не так..),
$$\Phi_{\mathrm{r}}^{(3)}/\Phi_{0}=r_{12}^{2}\left(\beta\right)r_{10}\left(\beta\right).$$

На математике не проверено!!!

Part C

1С1. Разность хода должна равняться целому числу длин волн. Тогда

$$\Delta d=2d_1\sqrt{n_1^2-\sin^2\alpha_0}=k\lambda,\ k\in\mathbb{N}$$
 (и здесь у меня в работе не так..),

откуда

$$\sin\alpha_0 = \sqrt{n_1^2 - \frac{k^2\lambda^2}{4d_1^2}}, \ \text{при соответствующих значениях } k.$$

- 1C2. Минимизации интенсивности отраженного излучения при нормальном падении соответствует толщина слоев $d = \lambda/(4n)$, для наклонного излучения все по-другому.
- 1С3. Из преобразований скоростей для фотона $(c\cos\alpha_0, c\sin\alpha_0)$ получим

$$\left(\frac{v + c\cos\alpha_0}{1 + \frac{v\cos\alpha_0}{c}}, \frac{c\sin\alpha_0}{\gamma\left(1 + \frac{v\cos\alpha_0}{c}\right)}\right), \quad \gamma = \sqrt{1 - \frac{v^2\cos^2\alpha}{c^2}} \approx 1.$$

Тогда в системе отсчета движущейся пластины скорость повернулась на угол

$$\Delta \alpha = \frac{v}{c} \sin \alpha_0.$$

Далее при помощи формул из части А находим изменение показателя преломления

$$\Delta n_{\rm eff} = \frac{dn_{\rm eff}}{d\alpha_0} \Delta \alpha.$$

Для неподвижной системы отсчета все по-другому (проще всего также разложить на составляющие и пользоваться законом сложения скоростей).

Part D

1D1. Из условия непрерывности (одинаковая плотность тока) получим $E/\rho = const.$

1D2.

$$\rho_{\perp} = \frac{\rho_1 d_1 + \rho_2 d_2}{d_1 + d_2}.$$

1D3.

$$\rho_{\parallel} = \frac{\rho_1 \rho_2 (d_1 + d_2)}{\rho_1 d_2 + \rho_2 d_1}.$$

1D4. Могут. Например, когда $\rho_1 \ll \rho_2$ или наоборот.

1D5. Если направить ось Ox по нормали к слоям, то компоненты вектора напряженности равны соответственно

$$E_x = j\rho_{\perp}\cos\varphi,$$

$$E_y = j\rho_{\parallel}\sin\varphi.$$

В общем случае, векторы плотности тока и напряженности не коллинеарны.

1D6. Сложная энергетическая оценка диссипации дает

$$\rho_{\rm eff} \sim \frac{E^2}{n^2 e^2 v^2 \rho},$$

где E — напряженность электрического поля, n — концентрация электронов в веществе, v — средний модуль скорости их движения, ρ — удельное сопротивление. Если воспользоваться сомнительной оценкой $v \sim E/B$, получим

$$\rho_{\rm eff} \sim \frac{B^2}{n^2 e^2 \rho}.$$

Тот факт, что собственное удельное сопротивление материала стоит в знаменателе, имеет свое объяснение в этой модели.

Problem 2

Part A

2A1.

$$P_1 = \cos^2 \omega t, \quad P_2 = \sin^2 \omega t.$$

 $2A2.\ \langle s \rangle = 0.$ Недиагональные элементы не делают погоды ни в каком виде.

2A3.

$$\begin{pmatrix} \frac{3}{4} + \frac{1}{4}\sin\omega t & * \\ * & \frac{1}{4} - \frac{1}{4}\sin\omega t \end{pmatrix},$$

где вместо звездочек могут стоять любые числа.

Part B

2B1.

$$I/I_0 = \cos^2 \phi.$$

2B2.

$$I=0.$$

2B3.

$$I/I_0 = 3/16.$$

Part C

2C1.

$$\rho(x) = 1/a, \quad 0 \le x \le a.$$

2C2.

$$\langle x \rangle = a/2.$$

2C3.

$$\rho(x) = \frac{\left(\sqrt{2} - 1\right)x^{-2 + \sqrt{2}}}{a^{\sqrt{2} - 1}}.$$

2C4.

$$\langle v \rangle = \sqrt{\frac{8kT}{\pi m}},$$

согласно википедии (у меня двойка под корнем потеряна).

2С5. Распределение по модулю скорости имеет вид

$$f(v)dv = 4\pi v^2 \left(\frac{m}{2\pi kT}\right)^{3/2} \exp\left(-\frac{mv^2}{2kT}\right) dv.$$

По квадрату скорости — соответственно.